

الفصل الثالث عشر

أطیاف $d-d$

$d-d$ Spectra

إن أهم ما يميز مركبات عناصر القطاع $-d$ عن ما يقابلها من المجموعات الرئيسية، في الواقع، هو سيطرة الألوان على الأولى. ترتبط الألوان - الناتجة عن الانتقالات الإلكترونية في المنطقة المرئية من الطيف الكهرومغناطيسي - أساساً بانتقالات $d-d$ ، أي بين مستويات الطاقة (الحدود) التي تمت مناقشتها في الفصل الأول، رغم أهمية أنواع أخرى من الانتقالات، مثل انتقال الشحنة. في أبسط الصور، ينشأ لون $(d^l)^{3+} [Ti(H_2O)_6]^{3+}$ الأرجواني من انتقال الإلكترون الوحيد $t_{2g} \leftarrow e_g$ عند حوالي 20.000 سـ¹ ، إلا أن تفسير أطیاف هیئات d^n الأخرى عادة ما يكون أقل سهولة. وقد نتوقع مثلاً أن يكون لطيف أيون d^2 مثل $[V(H_2O)_6]^{3+}$ الأخضر حزمان تعودان لانتقالات $t_{2g} \leftarrow e_g$ لأحد الإلكترونين أو كليهما. وتنظر في الواقع حزمان في الطيف المرئي (17800 و 25000 سـ¹) ولكن عند طاقات لا تساوي Δ_0 و $2\Delta_0$ كما هو متوقع، بالإضافة إلى حزم أخرى أقل كثافة بكثير.

سوف نستغل نتائج الفصل الثاني عشر في هذا الفصل، والمتعلقة بالحدود المرتبطة بهیئات d^n في محاولة لتفسير تلك الأطیاف، وذلك بقدر ما يكون ذلك ممكناً في حدود النص ومبنياً على نظرية الزمر.

(١٣,١) قانون بير - لامبرت

يتناصف مقدار الضوء الساقط (I_0) والنافذ (I_T) بالمرور عبر العينة مع كل من طول المسار (l) وتركيز العينة (C). يتم التعبير عن ذلك على أساس امتصاص العينة، حيث:

$$A = \log_{10} [(I_0) / (I_T)]$$

$$A \propto l \times C$$

معادلة رقم (١٣,١)

$$A = \epsilon \times l \times C$$

المعادلة رقم (١٣,١) هي قانون بير - لامبرت، وثبت التناصف ϵ هو معامل الامتصاص المولي. وحدات ϵ هي دسم^٣ مول^{-١} سـم^{-١}. ويعكس عند أقصى امتصاص (الحزمة) λ_{\max} محلول ١M وطول مسار ١سم. تتيح لنا قيم ϵ مقارنة إمكانية حدوث انتقال إلكتروني ما: كلما كان الامتصاص أكثر كثافة كان حدوث الانتقال أكثر إمكانية ويرتبط احتمال الانتقال بدورة أن الانتقال "مموج" أو "ممكن" أو أن يتم بانتهائه أحد قوانين الانتقال، وهو ما سوف نتطرق إليه بعمق أكثر الآن.

(١٣,٢) قوانين الانتقال والازدواج الانتقالـي - الاهتزازي

نناقشنا قوانين الانتقال التماضي التي تحكم الانتقالات الإلكترونية في الجزء 11.2 والتي تقتضي تكامل انتقال غير - صفرى حتى يكون الانتقال مموجاً:

$$\int \psi_i \mu \psi_f d\tau \neq 0 \quad \text{أي} \quad \psi_i \times \begin{pmatrix} \mu_x \\ \mu_y \\ \mu_z \end{pmatrix} \times \psi_f = \psi_i \times \begin{pmatrix} T_x \\ T_y \\ T_z \end{pmatrix} \times \psi_f \neq 0$$

حيث تمثل T_x ، T_y ، T_z تحت تماثل O_h هو T_{lu} ويصبح:

$$\int \psi_i \mu \psi_f d\tau = \psi_i \times T_{lu} \times \psi_f$$

نعلم أن لدى كل من ψ_i و ψ_f تماثل g لجميع الحدود المتبعة من الهيئة d^n ، لذا، وبأخذ جانب u/g فقط من التكامل :

$$\psi_i \times T_{1u} \times \psi_f = g \times u \times g = u$$

وحتى يساوي التكامل قيمة غير صفرية، لابد أن يحتوي على التمثيل تام التماثل، وهو A_{1g} بالنسبة للزمرة النقطية O_h ؛ إن ذلك مستحيل إذا كان ناتج $\psi_i \times T_{1u} \times \psi_f$ يحتوي التماثل u .

يستبعد هذا التحليل ذاته انتقالات $s \rightarrow s$ و $p \rightarrow p$. تذكر أن مدارات s - دائمًا g ومدارات p - تكون u في الزمرة النقطية التي تملك مركز انقلاب، وأن لدى u تماثل T_x و T_y والذي له تماثل مدارات p (u) بصرف النظر عن الزمرة النقطية لدينا :

$$\begin{aligned} s \rightarrow s : \quad \psi_i \times \mu \times \psi_f &= g \times u \times g = u \\ p \rightarrow p : \quad \psi_i \times \mu \times \psi_f &= u \times u \times u = u \end{aligned}$$

نستنتج من ذلك قانون الانتقاء التعادلي

- لابد أن يتضمن الانتقال تغيراً في التعادلية؛ الانتقالات $g \rightarrow g$ و $u \rightarrow u$ محظورة تعادلية.

يندرج هذا القانون ضمن قانون لابورت الأعم^(١) والذي يتطلب تغيراً في الاندفاع المداري الزاوي لانتقال مسموح.

- لابد أن يملك الانتقال المسموح $\Delta l = 1 \pm$.

O Laporte and W F Meggers, *J. Opt. Soc. Am.*, **11**, 459 (1925). (١)

لاحظ أنه من المتعارف عليه أن يتم التعامل مع قانوني التعادلية ولابورت على أنهما شيء واحد.

يعني ذلك أن :

- $s \rightarrow s, p \rightarrow d$ محظورة ($\Delta I = 0$ ؛ لا تغير في التعادلية).

- انتقالات مثل $p \rightarrow d$ مسموحة ($\Delta I = 1 \pm 1$) على أساس التعادلية.

إن الانتقالات $d \rightarrow d$ محظورة للأصناف ثنائية الأوجه على أساس كل من

التعادلية وغياب التغير في الاندفاع المداري الزاوي ($\Delta I = 0$)، إلا أن تلون معظم عقدات الفلزات الانتقالية ثنائية الأوجه يقترح أن انتقالات $d \rightarrow d$ تتم وينتهك كلا القانونين، ولكن كيف يكون ذلك؟ ببساطة، لأن أشكالاً اهتزازية محددة في الجزيء تزيل تماثل الانقلاب وهو قلب موضوع التعادلية وتسمح للانتقال أن يتم، وتسمى العملية **الازدواج الانتقالـي - الاهتزازي**. يمكننا تفسير ذلك بشكل أكثر وضوحاً بالطريقة التالية.

الانتقالات الإلكترونية بين مستويات الطاقة غير مستقلة تماماً عن الحركات الاهتزازية داخل الجزيء، رغم أنها تهمل عادة عند تحليل مماثل لما نحن مقبلون عليه. ومن الأفضل كتابة المعادلة رقم (١١,١) بالشكل :

$$\text{معادلة رقم (١٢,١)} \quad \int \psi_i \mu \psi_f d\tau = \int (\psi_e \psi_v)_i \mu (\psi_e \psi_v)_f d\tau$$

تساهم كل من الدوال الموجية الانتقالية والاهتزازية في الحالات المستقرة والمشاركة. أي أن تماثل الحالة المستقرة (المشاركة) هو الناتج المباشر $\psi_v \times \psi_e$ ؛ يؤدي هذا الازدواج بين السلوك الإلكتروني والاهتزازي إلى المصطلح "انتقالـي - اهتزازي". وتصبح النقاط التالية، والتي أشرنا إليها سابقاً، أكثر أهمية :

- الناتج المباشر للتتمثيلات غير القابلة للاختزال غير - المتساوية مضروباً في نفسه هو دائماً التمثيل تام التماثل (الجزء ١١,٢).

• الناتج المباشر للتمثيل غير القابل للاختزال المتساوي مضروباً في نفسه هو تمثيل قابل للاختزال (الجزء ١١.٤) ويحتوي على التمثيل تام التماثل (الجدول رقم ١١.١).

• الحالة المستقرة الاهتزازية (ψ_v) تامة التماثل دائماً.

يمكننا إضافة الحقيقة الواضحة التالية إلى ما سلف :

• في أي ناتج ثانوي مباشر يشترك فيه التمثيل تام التماثل يُبقي الأخير المكون الآخر كما هو دون تغيير.

سؤال تقييم ذاتي ١٣.١ : أثبتت أن $O_h \times T_{1u} = A_{1g}$ تحت تماثل O_h وذلك بضرب قيم المميز لكل من التمثيلات غير القابلة للاختزال ببعضهما.
إجابات جميع أسئلة التقييم الذاتي في الملحق ٣.

يمكننا الآن تبسيط المعادلة رقم ١٣.٢ :

$$\int (\psi_e \psi_v)_i \mu (\psi_e \psi_v)_f d\tau = \int (\psi_e)_i \mu (\psi_e)_f (\psi_v)_f d\tau$$

حيث $(\psi_v)_i$ هو التمثيل تام التماثل (A_{1g}) تحت تماثل O_h .

نعلم أنه بالنسبة للزمرة O_h النقطية يكون حاصل الضرب $(\psi_e)_i \times \mu \times (\psi_e)_f$ ورمز التماثل $u \times u \times g$ ، حيث يتطلب ذلك أن $(\psi_v)_i$ لابد أن تكون u لجعل الناتج المباشر الكامل g . كذلك، وبجعل الناتج المباشر مساوياً التمثيل تام التماثل أو محظوظاً عليه، لابد أن يحتوي $\mu \times (\psi_e)_i \times (\psi_e)_f$ نفس تماثل الرموز كما في $(\psi_v)_f$. سيوضح المثال ذلك أكثر.
لنظام d^l ، الانتقال المسماوح - مغزلياً (ولكن محظوظ - لا بورت) هو $E_g \leftarrow E_{2g}$.
وبما أن u يملك التماثل T_{1u} في مجال ثمانى الأوجه.

$$\int (\psi_e)_i \mu (\psi_e)_f (\psi_v)_f d\tau = (T_{2g} \times T_{1u} \times E_g) \times (\psi_v)_f$$

باستخدام القواعد في الجدول رقم (١١,١) وتفكيك الناتج المباشر المتعدد إلى سلاسل من النواتج الثنائية :

$$\begin{aligned} (T_{2g} \times T_{1u} \times E_g) &= (T_{2g} \times T_{1u}) \times E_g = (A_{2u} + E_u + T_{1u} + T_{2u}) \times E_g \\ (A_{2u} + E_u + T_{1u} + T_{2u}) \times E_g &= E_u + A_{1u} + A_{2u} + E_u + T_{1u} + T_{2u} + T_{1u} + T_{2u} \\ &= A_{1u} + A_{2u} + 2E_u + 2T_{1u} + 2T_{2u} \end{aligned}$$

وحيث إن الأشكال الاهتزازية لصنف ثانوي الأوجه ML_6 هي (الفصل الرابع،

السؤال ٤) :

$$\Gamma_{اهتزاز} = A_{1g} + E_g + 2T_{1u} + T_{2g} + T_{2u}$$

وهي ما نعنيه من ψ_f في المعادلة رقم (١٣,٢). إذن :

$$\begin{aligned} (T_{2g} \times T_{1u} \times E_g) \times (\psi_v)_f &= \\ (A_{1u} + A_{2u} + 2E_u + 2T_{1u} + 2T_{2u}) \times (A_{1g} + E_g + 2T_{1u} + T_{2g} + T_{2u}) & \end{aligned}$$

للاحاجة لتقسيم هذه السلاسل المتبعة من النواتج المباشرة، فتحن نعلم أن التمثيل تام التماضي A_{1g} المتطلب لجعل تكامل الانتقال غير - صفرى، هو (أو موجود ضمن) ناتج تمثيلين متطابقين ؛ يلزمنا فقط البحث عن متشابهات في نصفي عملية الضرب للوصول لهذه النتيجة. يتحقق كل من T_{1u} و T_{2u} هذا المعيار ويصبح الانتقال مسماً انتقاليا - اهتزازيًّا. بل إنه عندما تتكرر الحدود $(\psi_e)_i \times \mu \times \mu \times \psi_f$ التي تضم Γ أكثر من مرة، فإن الإزدواج الانتقالى - الاهتزازي سوف يقسم الانتقال بمقدار هتزاز طاقة اهتزاز رابطة فلز - متصلة (حوالي 200 سم⁻¹)، والذي يمثل السبب، جزئيًّا، وراء تعرض اتساع الخطوط الطبيعي لمعظم أطيف $d-d$.

سؤال تقسيم ذاتي ١٣,٢ : لدى معقد Co^{3+} منخفض الغزل الحالة المستقرة A_{1g}^1 والحالات

المشاردة T_{1g}^1 و T_{2g}^1 . هل يتبع الإزدواج الانتقالى - الاهتزازي ظهور هذه الانتقالات ؟

إن انتزاع مركز التماشل في معقد ثانوي الأوجه يسمح بخلط مدارات $-p$ ومدارات $-d$ (ذلك محظور تحت تماثل O_h الصارم؛ فلديها رموز تماثل مختلفة). يعني ذلك بأنه رغم كسر حالة التعادلية الصارمة ($g \rightarrow g$)، فإن الازدواج الانتقالالي - الاهتزازي يعني أيضاً أن $\Delta I \neq 0$ حيث المدارات المعنية في الانتقالات ليست d نقية في طبيعتها.

إن مفهوم التعادلية ليس لديه أي أهمية، بالطبع، في الزمر النقطية التي تفتقر إلى مركز انقلاب، مثلاً T_d ، رغم أن انتقالات $d \leftarrow d$ لا تزال محظورة حيث $\Delta I = 0$. على أي حال، خلط مدارات $-p$ و $-d$ مسموح - تمثيلياً تحت تماثل T_d (لدى مدارات $-p$ التماشل t_2 مثل t_2 d_{xy} , d_{xz} , d_{yz}) مما يسمح باسترخاء قانون لابورت، أي لا تبقى الانتقالات بين مدارات $-d$ نقية. ونتيجة لعدم وجود موانع تعادلية، يصبح لون المعقدات رباعية الأوجه أكثر شدة (قيمة ϵ أكبر برتبة واحدة أو اثنين) من تلك المعقدات ثنائية الأوجه حيث انتقالات $d \leftarrow d$ مسموحة - لابورت^(٤).

١٣.٣) قانون الانتقاء المغرلي

إن الاستفاضة في التحليل الذي يؤدي إلى قانون لابورت يثبت أيضاً أساس قانون الانتقاء المغرلي.

- لانتقال مسموح - مغزلياً تكون $\Delta S = 0$ ، أي لا تغير في غزل الإلكترونون.

بما أن طاقة المستوى الإلكتروني تأتي من مساهمات من كل من اعتبارات مغزليه (S) ومدارية (L)، فإن المعادلة رقم (١٣.٢) لا بد أن تستكمل على النحو:

$$(13.3) \quad \text{معادلة رقم } (\psi_s)_f(\psi_L)_f(\psi_v)_f d\tau = \int (\psi_s)_i(\psi_L)_i(\psi_v)_i d\tau$$

(٤) لا يعتبر ذلك صحيحاً إذا كان مصدر لون معقد ثانوي الأوجه غير انتقالات $d-d$. فحزم انتقال الشحنة، كتلك التي تؤدي إلى لون أرجواني داكن لأيون البرمنجنات، $[MnO_4]^-$ (d^0)، مسموحة على أساس لابورت والتعادلية.

حيث استبدل ψ بـ $(\psi_L)_f$ في الحالتين المستقرة والمثارة. وبما أننا نعلم أن لدى الانتقالات المسمومة - تمثيلاً $(\psi_L)_f \times (\psi_v)_i \times \mu$ - والذي يضم التمثيلات القابلة للاختزال تامة التماشيل قبل النظر إلى المغزلي، أي المكون $(\psi_s)_f \times (\psi_s)_i$ ، ولابد لهذا الناتج الأخير أن يكون نفسه تام التماشيل حتى يحتفظ بناتج التماشيل الكلتا للتكامل. يقضي ذلك بأن يكون $i = f$ والذى يكون صحيحاً فقط إذا كان لكلا الحالتين المستقرة والمثارة نفس المغزل، S .

على أي حال، فأيون $[Mn(H_2O)_6]^{2+}$ وردي فاتح جداً، رغم حقيقة أنه d^5 مرتفع - الغزل والحد المستقر A_{1g} ⁶ لا ينقسم بمجال المتصلة ولا يوجد أي مستويات مثارة لها تعددية سداسية (الجدول رقم ١٢.٣)، لذا فمن الواضح أن قانون الانتقاء المغزلي قد كسر. وفي الجانب الآخر، نجد أن نقص كثافة اللون الناتج من أي من انتقال (الانتقالات $d-d$) والذي أدى إلى ظهور اللون الوردي يقترح أنه من الصعب كسر هذه القاعدة. يقع انتهاء لقانون الانتقاء المغزلي لأنه لا يمكن فصل حرکتي الإلكترونات المغزليه والمدارية، ويزدوجان بطريقة تشبه إلى حد كبير الازدواج الانتقالية - الاهتزازي مما يؤدي إلى استرخاء قانون لابورت. إن الازدواج المغزلي - المداري الذي تم تناوله مؤخراً في نهاية الجزء ١٢.١ ضعيف في عناصر السلسلة الأولى للعناصر الانتقالية مثل المنجينيز مما يتواافق مع مخطط راسل - ساندرز (L, S). أما بالنسبة لعناصر السلسلتين الثانية والثالثة الانتقالية فإن الدرجة التي يزداد بها الازدواج المداري - المغزلي تؤدي إلى مزيد من قيمة الاسترخاء لقانون الانتقاء المغزلي. في الواقع، يصبح مخطط ازدواج راسل - ساندرز لتلك العناصر غير مناسب بشكل كبير؛ الازدواج المغزلي المداري يهيمن ويضطرب الناتج بمجال - المتصلة، في حين تأثير مجال المتصلة يهيمن في مخطط راسل - ساندرز وأثر ازدواج L, S له تأثير ضعيف نسبياً. في العناصر الأثقل يصبح من

ال المناسب ازدواج كمية التحرك الزاوي المغزلي والمداري للإلكترونات الفردية (ازدواج -*z*)، ومجموع قيم *z* الفردية تعطي *J*.

يلخص الجدول رقم (١٣.١) الكثافات النسبية للحزم مختلفة المنشأ في ضوء قوانين الانتقاء المختلفة. ويمكن لحزم انتقال الشحنة أن تنشأ من خلال منح الإلكترونات من مدار *d* الممتلئ للفلز إلى مدار المتصلة الفارغ (أو شبه الفارغ) (فلز - متصلة أو ا.ش.م.ل.)، أو من مدار المتصلة الممتلئ إلى مدار الفلز الفارغ (أو شبه الفارغ) (متصلة - فلز ا.ش.ل.م.). إن ا.ش.م.ل. شائعة في المعقدات ذات المتصلات المستقبلة π مثل CO^- و CN^- ، حيث تستقبل مدارات المتصلة π^* الفارغة الشحنة المنتقلة.

الجدول رقم (١٣.١). كثافة الحزم وقوانين الانتقاء^a.

ϵ^b	المغزل	التعادلية	لابورت	المنشأ
0.1	X	x	X	<i>d-d</i> (O_h)
1	X	n/a	X	<i>d-d</i> (T_d)
10	✓	x	X	<i>d-d</i> (O_h)
100	✓	n/a	X	<i>d-d</i> (T_d)
1000 +	✓	✓	✓	انتقال الشحنة

^a مسموح = ϵ محدود، ✓ = مسموح

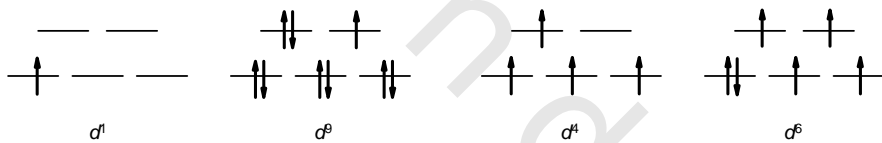
^b = القيمة التقريرية، دسم 3^1 مول 1^1 سـم

بالمثل، ينشأ لون $[\text{MnO}_4^-]$ الأرجواني الداكن من ا.ش.ل.م. إلى مدارات *d*- الفارغة على المنجنيز (VII) (d^0). وحيث إن مدارات المتصلة المعنية ليست مدارات *d*، فإن قانون لابورت لا ينتهك أبداً، ولا قانون الانتقاء المغزلي حيث ينتقل الإلكترون إلى موقع فارغ ويحتفظ بمغزله الأصلي. بناء على ذلك، فإن حزم انتقال الشحنة في الأغلب أكثر كثافة من حزم *d-d*.

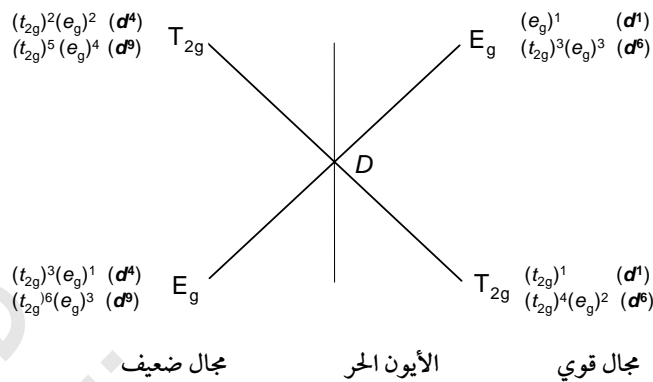
(٤) أطيف $d-d$ - المعدنات ثنائية الأوجه مرتفعة الغزل

يمكننا الآن الشروع في تقييم الأطيف الإلكتروني الملاحظة لمختلف أيونات الفلزات الانتقالية وذلك بمعرفة الحدود وiedadesها لأي من هيئات d^n (الجدول رقم ١٢.٧) وتأثير قوانين الانتقاء على كثافة الانتقالات، مبتدئين بالمعدنات ثنائية الأوجه مرتفعة الغزل حيث تملك حدوداً مستقرة ذات أقصى تعددية.

يمكننا أن نبدأ بضم مجموعات هيئات d^n مع بعضها لكل الترتيبات مرتفعة الغزل، ونبدأ بـ d^1 ، d^9 و d^6 حيث جمعها تملك حد الأيون الحر المستقر D (الجدول رقم ١٢.٣). تنقسم هذه إلى الحدود T_{2g} و E_g في مجال المتصلة، وتعكس الطاقات لكل من d^1 و d^9 . أي تنخفض طاقة مدارات t_{2g} في كلتا الحالتين، وتعكس اصطلاحية الثقب طاقات حدود مجال - المتصلة:



لدى المستوى المستقر $(e_g)^6 (t_{2g})^1$ ثقب في المستوى e_g له d^9 ، والذي يمكن أن يكون أو $d_{x^2-y^2}$ إذن هو الحد E ، أي E_g . بالمثل، تقابل الهيئة المثارة $(e_g)^4 (t_{2g})^5$ الثقب في المستوى t_{2g} (تكافئ الإلكترون المنفرد d^1) والذي يمكن أن يوجد في أي من مدارات $-d_{z^2}$ الثلاث وهو الحد T $(T_{2g})^2$. وباستخدام التشبيه نفسه، d^6 يتبع d^1 في أنه يملك إلكترون واحداً إضافة إلى نصف امتلاء مجموعة المدارات وهو بذلك T_{2g}^5 في مستوى المستقر، في حين لدى d^1 ثقب في الغلاف نصف المتماثل $(E_g)^5$ ويوازي d^9 ؛ تعكس الحدود المستقرة له d^4 و d^6 ، وبالتالي $E_g^5 T_{2g}^5$ على التوالي. يمكن تمثيل هذه النتائج صورياً في الشكل رقم (١٣.٢)، حيث يلزم إضافة التعديات المناسبة حسب حالة d^n المعنية.



الشكل رقم (١٣,١). انقسام الحد المستقر D لمعقدات d^1, d^4, d^6 ، و d^9 ثانية الأوجه.

سؤال تقييم ذاتي ١٣,٣ : ما هو الانتقال المسموح - مغزلياً لمعقد Co^{3+} مرتفع الغزل؟

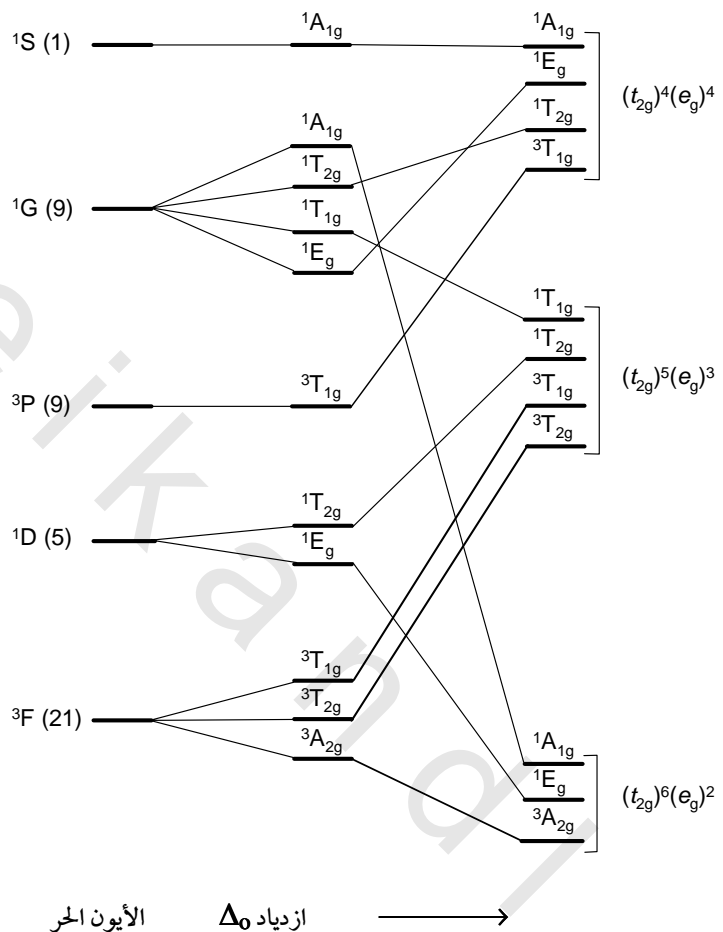
يمكن وضع هيئات d^2, d^3, d^7 و d^8 في مجموعة بناء على اصطلاحية الثقب ذاتها والتي لها جميعاً حد الحالة المستقرة للأيون الحر F . لذا، فإنه في حين أن حدود d^2 ذات التعددية القصوى، تصاعدياً من حيث الطاقة، هي ${}^3\text{T}_{1g}, {}^3\text{T}_{2g}, {}^3\text{A}_{2g}$ ، يعكس الترتيب بالنسبة له d^8 : ${}^3\text{A}_{2g}$ الأدنى، ثم ${}^3\text{T}_{2g}$ وأخيراً ${}^3\text{T}_{1g}$. ويمكن الوصول إلى مخطط التعالق الكامل، في الواقع، بعكس الشكل رقم (١٢,٢). كما هو موضح في الشكل رقم (١٣,٣).

لاحظ أن بعض الخطوط التي تصل الحدود ${}^3\text{T}_{1g}$ تغيرت لتمثيل لقاعدة عدم التقاطع.

لعلات ضمن عائلة d^2, d^3, d^7 و d^8 إذن:

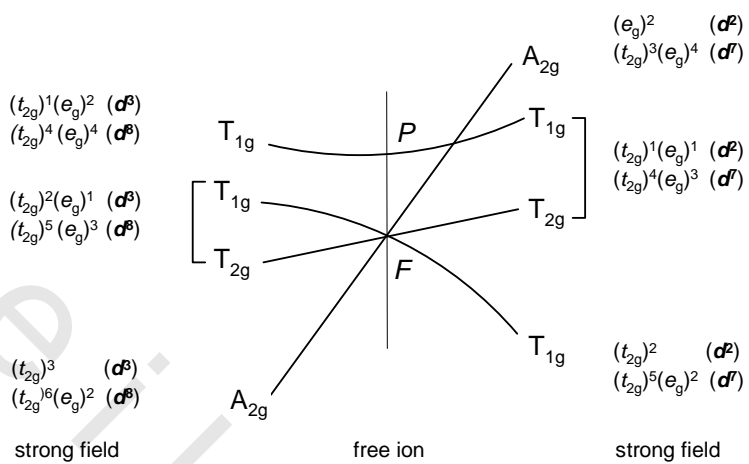
$$d^8 \equiv d^3 \quad d^7 \equiv d^2$$

$$d^8, d^3, d^7 \text{ عكس } d^2$$



الشكل رقم (١٣,٢). انقسام حدود d^8 للأيون الحر تحت تأثير ازدياد مجال المنشلة.

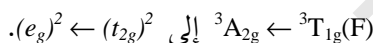
بالمحاكاة، يلخص الشكل رقم (١٣,٣) ويبيّن مخطط تعالق d^2 ، d^3 ، d^7 و d^8 ، والتي تملك جميعها حدود F المستقرة وحد مثار P له نفس التعددية. إن انثناء الخطوط المرتبطة باللدين T_{1g} هو نتيجة قاعدة عدم التقاطع، والتي تقضي بأن الحدود ذات التمايل والتعددية ذاتها تنفر من بعضها البعض ولا تتقاطع. وعلى أساس الشكل رقم (١٣,٣) سوف نتبناً بثلاثة انتقالات مسموحة - مغزلياً لهيئات d^n الأربعية هذه.



الشكل رقم (١٣,٣). انقسام الحد المستقر F لعقدات d^2 , d^3 , d^5 و d^7 ثانية الأوجه.

سؤال تقييم ذاتي ١٣,٤ : ما هي انتقالات $[V(H_2O)_6]^{3+}$ المسموحة مغزلياً؟

نجد، ومن الناحية العملية، أن واحداً من هذه الانتقالات ضعيف جداً وعند طاقة عالية (تقريباً 32000 سم⁻¹) حيث يتضمن إثارة متزامنة لإلكترونين، مثلاً في d^2 يعود الانتقال :



يشار إلى الأشكال رقمي (١٣,١) و (١٣,٣) على أنها أشكال أورجل Orgel. وهي توفر تحليل مباشر ولكن مبسطاً لأطيفات d-d ولكنها تفشل في تفسير التفاصيل الطيفية الدقيقة بسبب تركيزها فقط على الانتقالات المسموحة - مغزلياً بين حدود ذات التعديدية نفسها. مثلاً، يحتوي طيف $[V(H_2O)_6]^{3+}$ المرئي كذلك على عدد من الحزم الضعيفة جداً في المنطقة 20000-30000 سم⁻¹، والتي بناء على كثافتها ($\epsilon \approx 0.1$ دسم³ مول⁻¹ سم⁻¹)، لابد وأنها نشأت من انتقالات محظورة - مغزلياً إلى حدود أحادية مثارة.

هذه الحدود المشار إليها ذات التعددية المخالفة للحد المستقر، والغائبة عن مخططات أو رجل، واضحة بالكامل في مخططات التعالق الشكلاں رقمان (١٢,٢ و ١٣,٢)، وهي بالإضافة إلى مخططات أخرى من هذا النوع، متوفرة بشكل معدل وكمي في ما يُعرف بـ مخططات تانابي - سوجانو Tanabe-Sugano^(٣).

أخيراً، سبق وأشارنا (الجزء ١٣,٣) إلى أنه بما أن معقدات d^5 ثنائية الأوجه مرتفعة - الغزل لا لون لها ظاهرياً حيث لا يمكن وجود انتقالات مسمومة - مغزلياً من المستوى المستقر: لابد لتنشيط إلكترون أن يقود إلى تغير في التعددية. ويتوافق ذلك مع حقيقة أنه لا انقسام للحد المستقر A_{1g} ^٦ ولا وجود لحدود سداسية مثارة. ولقد أُسند الانتقال الضعيف المسؤول عن لون $Mn(H_2O)_6^{2+}$ الوردي الباهت، ضمن أمور أخرى، إلى الانتقالات المحظورة - مغزلياً على أساس مخططات تانابي -

سوجانو؛ $^4T_{2g} \leftarrow ^6A_{1g}(G) \leftarrow ^6A_{1g}$

(١٣,٥) أطياف $d-d$ - المعقدات رباعية الأوجه

يمكننا الآن تعين كيف سينقسم أي من حدود الأيون - الحر في مجال رباعي الأوجه باستخدام المعادلات رقم (١٢,٦ - ١٢,٧) :

T_d	E	$8C_3$	$3C_2$	$6S_4$	$6\sigma_d$
Γ_S	1	1	1	1	1
Γ_P	3	0	-1	1	-1
Γ_D	5	-1	1	-1	1
Γ_F	7	1	-1	-1	-1

$$\begin{aligned} &= A_1 \\ &= T_1 \\ &= T_2 + E \\ &= A_2 + T_1 + T_2 \end{aligned}$$

تم إعادة إصدار Y Tanabe and S Sugano, *J. Phys. Soc., Jpn.*, 1954, **9**, 753; *ibid.*, 766 (٣).

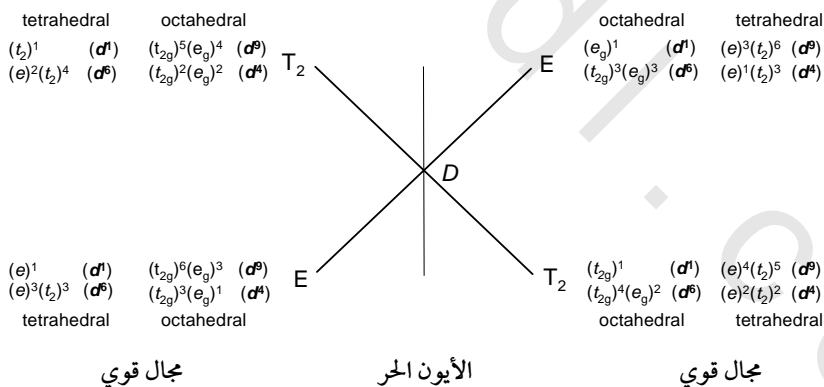
تلك في معظم نصوص الكيمياء غير العضوية للمرحلة الجامعية.

يطابق الناتج حالة المجال ثماني الأوجه، إلا أن الرموز السفلية g ، u مفقودة حيث إنها لا توجد في الزمرة النقطية التي تفتقر للتمايز i . على أي حال، لقد تغيرت الآن الطاقات النسبية للحدود. في المجال رباعي الأوجه، مدارا d - المكونان للمجموعة e (d_{z^2} , $d_{x^2-y^2}$) أدنى في الطاقة من مجموعة مدارات d - الثلاث t_{2g} . ويتبع ذلك أن الحد المستقر بالنسبة للهيئة d^l هو الحد تحت تماثل E . وعلى العكس من ذلك، فإن الحد المستقر بالنسبة لـ d^9 هو T_2 ، وهو عكس ثماني الأوجه d^9 . والخلاصة هي:

$$\text{رباعي الأوجه } d^n \equiv \text{ثماني الأوجه } d^{(10-n)}$$

$$\text{رباعي الأوجه } d^n \equiv d^{(10-n)} \equiv \text{ثماني الأوجه } d^n$$

يمكن تعليم مخططات أورجل الشكلان رقمًا (١٣.١) و (١٣.٣) لتغطي كلاً من حالات ثماني ورباعي الأوجه في نفس الوقت، موضحة هذه العلاقات. في كل من الشكلين رقمي (١٣.٤ و ١٣.٥)، لا بد من إضافة التعديات المناسبة للمعدنات ثنائية الأوجه الرمز السفلي g لرموز الحدود.



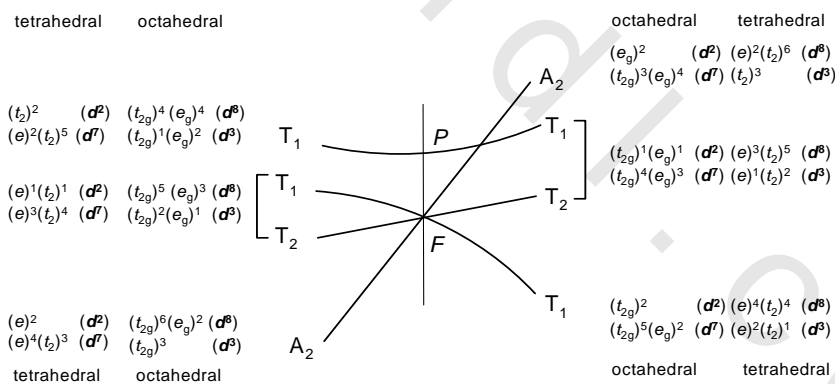
الشكل رقم (١٣.٤). انقسام الحد المستقر D لثماني ورباعي الأوجه d^l , d^4 , d^6 , d^9 ؛ لا بد من إضافة التعديات المناسبة والرموز السفلية (للمصنف O_h) إلى رموز الحدود.

سؤال تقييم ذاتي ١٣.٥ : ما الانتقالات المسموحة - مغزلياً التي تتوقعها لـ $[FeCl_4]^{2-}$ ؟

لقد سبق وأشارنا إلى أن انتقالات $d-d$ المسموحة - مغزلياً للمعقدات ثنائية الأوجه كما هي متوقعة بواسطة الشكلان رقمان (١٣.٤) و(١٣.٥) مسموحة فقط عبر استرخاء قاعدة لابورت/التعادلية بالازدواج الاهتزازي - الانهائي. أما بالنسبة للعقدات رباعية الأوجه فيمكن افتراض أن جميع انتقالات $d-d$ المتوقعة بواسطة هذه المخططات ستكون مسموحة، حيث قاعدة التعادلية لا تطبق على الأنظامة غير المتماثلة - مركزيّاً، إلا أن الحال ليس كذلك، ولابد من تقييم طبيعة التكامل الصفرى أو غير - الصفرى، كما يصورها سؤال التقييم الذاتي التالي.

سؤال تقييم ذاتي ١٣.٧ : لدى أيون d^2 رباعي الأوجه مثل $[\text{VCl}_4^-]$ ثلاث انتقالات ممكنة مسموحة - مغزلياً ترتبط بتنشيط إلكترون من $t_2^2(e)$ إلى إحدى الحالات المارة $t_2^1(e)^I$ أو $t_2^1(t_2)^I$.

حدد هذه الحالات باستخدام الشكل رقم ١٣.٥ ، ثم قم بتقييم تكامل الانتقالات الثلاث المناسبة لتحديد أي منها مسموحة - تمايلياً.



الشكل رقم (١٣.٥). انقسام الحد المستقر F لثمنائي ورباعي الأوجه d^2, d^7, d^3, d^2 و d^8 ؛ لابد من إضافة التعديات المناسبة والرموز السفلية (للصنف O_h) إلى رموز الحدود.

سؤال تقييم ذاتي ١٣.٦ : ما الانتقالات المسموحة - مغزلياً المتوقعة لـ $[\text{NiCl}_4]^{2-}$ ؟

٦) انتقالات $d-d$ – المعدنات منخفضة – الغزل

قبل الوصول إلى استنتاج لهذه المناقشة لابد من شرح وتوضيح مختصر للأطيفات الإلكترونية للمعدنات منخفضة – الغزل، والتي يمكنها أن تنشأ من معدنات $d^7 - d^4$ ثانية الأوجه في مجال متصلة قوي.

إن أهم ما يميز المعدنات ثانية الأوجه منخفضة – الغزل هو ندرتها النسبية. توجد هذه مع المتصلات قوية – المجال فقط (أي، في الطرف الأعلى للسلسلة الكيميائية – الطيفية)، مثل CN^- . ولسوء الحظ، تملك مثل هذه المتصلات مدارات π^* فارغة متاحة لحزم $A.s.M.L.$ والتي، بسبب كثافتها نسبة إلى حزم $d-d$ ، غالباً ما تحجب الأخيرة في الطيف.

ومن منظور نظرية الزمر، يمكننا أن نبدأ تقدير التعقيدات الناشئة عن المعدنات منخفضة – الغزل ضمن مخططات تنابي – سوجانو المعنية، وذلك بالأخذ بعين الاعتبار الانتقالات المسمومة – مغزلياً المحتملة مثل هذه الأصناف. القيود لمختلف هيئات d^n في الجدول رقم (١٢.٧) لا زالت قابلة للتطبيق، إلا أن الحد المستقر لم يعد الهيئة ذات أقصى تعددية. مثلاً، في حين لدى d^5 مرتفع – الغزل الهيئة $(t_{2g})^3(e_g)^2$ والحد المستقر A_{1g}^6 ، فإن d^5 منخفض الغزل هو t_{2g}^5 والحد الأدنى طاقة T_{2g}^2 . ولتقييم الانتقالات المسمومة – مغزلياً، لا بد من تعريف حدود الحالات – المثارة ذات التعددية مثيلة الحالة المستقرة وهو ما لم نفعله حتى الآن. ومرة أخرى، باستخدام d^5 كمثال، فإننا نتوقع على الأغلب أن يكون انتقال $d-d$ هو $(t_{2g})^4(e_g)^1 \leftarrow (t_{2g})^4$ ، ولكن بالجدول رقم (١٢.٦) عُلمت لدينا حتى الآن الحدود T_{1g}^4 و T_{2g}^4 والتي تعود إلى e_g^4 حيث هي الحدود ذات التعددية القصوى. يلزمها إيجاد الحدود الأخرى التي تنشأ

من $(t_{2g})^4 (e_g)^1$ ولكن ذات تعددية ثنائية لتسماشى مع حد t_{2g}^5 المستقر T_{2g}^2 . وبالطبع فإن ذلك يتم بطريقة الناتج المباشر المعهودة (الجدول رقم ١٢.٦) :

$$(t_{2g})^4 \times (e_g)^1 = ({}^3T_{1g} + {}^1A_{1g} + {}^1E_g + {}^1T_{2g}) \times {}^2E_g$$

بداية سوف نتجاهل التعدديات المغزلية ونركز على رموز التماثل وحدتها. يمكن تفكيك الناتج المباشر إلى الأجزاء الثنائية التالية :

$$\begin{aligned} T_{1g} \times E_g &= T_{1g} + T_{2g} \\ A_{1g} \times E_g &= E_g \\ E_g \times E_g &= A_{1g} + A_{2g} + E_g \\ T_{2g} \times E_g &= T_{1g} + T_{2g} \end{aligned}$$

تجمع التعدديات المغزلية المرتبطة بهذه الحدود متجهاً لتعطى :

$| S_1 - S_2 |, S_1 + S_2, S_1 + S_2 - 1, \dots$ ، كما هو ملخص في الجدول التالي:
الجدول رقم ١٣.٢). اتحادات تعدديات الحدود.

الحد ١ x الحد ٢	الحد ٢ S_2	الحد ١ S_1
ثنائية	أحادية	أحادية
ثنائية	ثنائية	أحادية
ثلاثية	ثلاثية	أحادية
رباعية	رباعية	أحادية
ثلاثية + أحادية	ثنائية	ثنائية
رباعية + ثنائية	ثلاثية	ثنائية
خمسية + ثلاثية	رباعية	ثنائية
خمسية + ثلاثية + أحادية	ثلاثية	ثلاثية
سداسية + رباعية + ثنائية	رباعية	ثلاثية

لتوسيع هذا الجدول، تأمل إدخال القيد الأخير الذي تحد فيه الحدود $S_1 = 1$ (ثلاثية) مع $S_2 = \frac{3}{2}$ (رباعية). نجد أن $S_2 = M_S = 1$ ، فإن $S_2 = \frac{3}{2} = M_S$ ، ، ، $\frac{1}{2}$ ، $-\frac{1}{2}$ (رباعية). إن اتحاد قيم M_S المنفردة هذه ينبع حاصل الجمع الآتي:

$$\begin{aligned} S_2 + 1 & : \frac{5}{2}, \frac{3}{2}, \frac{1}{2}, -\frac{1}{2} \\ S_2 + 0 & : \frac{3}{2}, \frac{1}{2}, -\frac{1}{2}, -\frac{3}{2} \\ S_2 + (-1) & : \frac{1}{2}, -\frac{1}{2}, -\frac{3}{2}, -\frac{5}{2} \end{aligned}$$

يمكن تفكيك هذه الاتجادات إلى مجموعات بنفس الطريقة التي استخدمت لإيجاد رموز الحدود لـ تحت - المستويات (الملحق ٢). سوف نبدأ بأعلى $M_S = \frac{5}{2}$ ، وهو جزء من تعددية سداسية حيث $S = \frac{5}{2} = S_1 + S_2$ (حيث $S_1 = M_s$) والتي تتضمن كذلك $\frac{1}{2}, \frac{3}{2} = M_s$ ، ، ، $\frac{5}{2}$. بإزالة تلك من المجموعة أعلاه يترك المتبقى الأعلى $M_s = \frac{1}{2}, -\frac{1}{2}$ ، $-\frac{5}{2}$. والذى هو جزء من تعددية رباعية ($S = \frac{3}{2}$) والذي يتضمن كذلك ، ، $\frac{1}{2} = M_S$ ، ، $-\frac{1}{2}$. يتبقى لنا قيمتين من $M_S = \frac{1}{2}, -\frac{1}{2}$ والتي تفرض ثنائية ($S = \frac{1}{2} = |S_1 - S_2|$). وتصبح بناء على ذلك نواتج الحاصل الثنائي $(t_{2g})^4 \times (e_g)^1$ المباشر الثنائية:

$$\begin{aligned} {}^3T_{1g} \times {}^2E_g &= {}^4T_{1g} + {}^4T_{2g} + {}^2T_{1g} + {}^2T_{2g} \\ {}^1A_{1g} \times {}^2E_g &= {}^2E_g \\ {}^1E_g \times {}^2E_g &= {}^2A_{1g} + {}^2A_{2g} + {}^2E_g \\ {}^1T_{2g} \times {}^2E_g &= {}^2T_{1g} + {}^2T_{2g} \end{aligned}$$

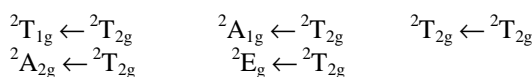
وككل :

$$\begin{aligned} (t_{2g})^4 \times (e_g)^1 &= {}^4T_{1g} + {}^4T_{2g} + {}^2T_{1g} + {}^2T_{2g} + {}^2E_g + {}^2A_{1g} + {}^2A_{2g} + {}^2E_g + {}^2T_{1g} + {}^2T_{2g} \\ &= {}^4T_{1g} + {}^4T_{2g} + 2 {}^2T_{1g} + 2 {}^2T_{2g} + 2 {}^2E_g + {}^2A_{1g} + {}^2A_{2g} \end{aligned}$$

يمكن التأكد من ذلك بتأمل التساوي الكلي، حيث لدى $(t_{2g})^4$ و $(e_g)^1$ التساوي 15 و 4 على التوالي (المعادلة رقم ١٢.١)، لذا نتوقع تساوي كلي يساوي 60 لـ $(t_{2g})^4 (e_g)^1$ ، وهو ما حصلنا عليه:

$$[12 + 12 + (2 \times 6) + (2 \times 6) + (2 \times 4) + 2 + 2].$$

وتصبح الانتقالات المسموحة - مغزلياً من $t_{2g}^4(e_g^I \leftarrow t_{2g})$ بناء على ذلك:



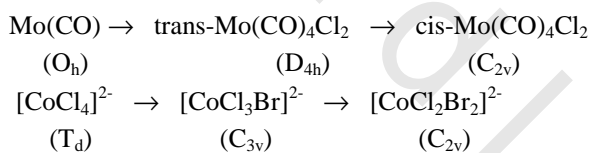
الطيف المشاهد أكثر تعقيداً من ذلك في الواقع، وهو محكوم بعدد من حزم انتقال الشحنة الكثيفة.

سؤال تقييم ذاتي ١٣.٨ : ما هي الانتقالات المسموحة تماثلياً المتوقعة لعقد d^6 منخفض - الغزل $[(t_{2g})^5(e_g^I \leftarrow t_{2g})]$

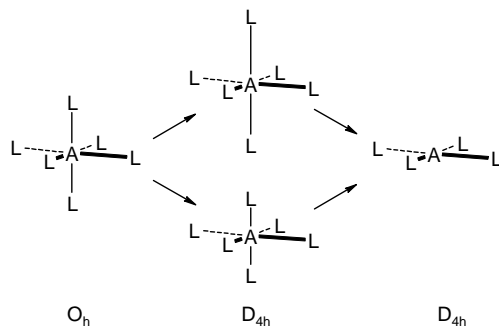
١٣.٧) التماثل المتناقض

غالباً ما يكون لكل من المعقّدات ثنائية رباعية الأوجه تماثل أقل من O_h/T_d المثالي.

يقع مثال لذلك التوزيع غير المتماثل للمتصّلات حول الفلز، كما في الأمثلة التالية:

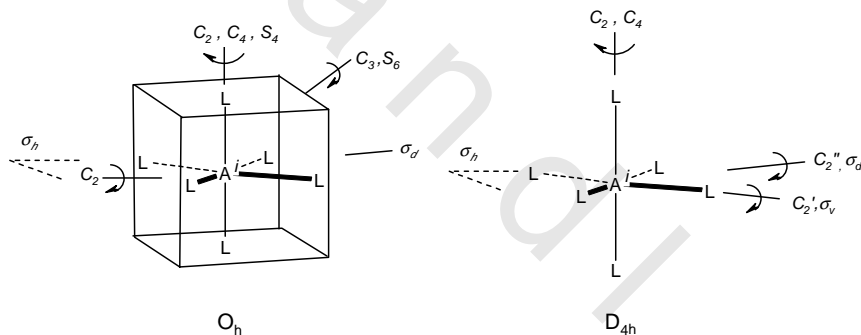


كما يمكن للتناقض في التماثل أن يقع بالتشوه البنائي، مثل:



يختفي أي من استطالة أو قصر الروابط المحوية التماثل من O_h إلى D_{4h} ؛ كما تولّد الإزالة التامة للمتصلات المحوية معقداً رباعياً - التناسق مربع - مستوي، ذو تماثل D_{4h} كذلك. إن هذه الاستطالة الرباعية أساس أثر جان - تلر، والتي سوف تشكل وما يترتب عليها للأطيف الإلكتروني محور هذا الجزء الأخير. وسوف تكون التقنيات التي سيتم وصفها قابلة للتطبيق عندما ينخفض التماثل عبر سلسلة من الأصناف المرتبطة مثلاً، تغييرات أشكال (CO) الاهتزازية لثلاثة معقدات للكوبالت والمذكورة آنفاً.

تكشف مقارنة جداول الصفات لكل من O_h و D_{4h} عدداً من الأمور المشتركة. أولاً، جميع العمليات التماثلية للزمرة النقطية D_{4h} موجودة في O_h ويمكننا اعتبار على أنه أحد تحت - مجموعاتها. وببساطة تُفقد بعض عمليات O_h التماثلية (C_3, S_6) عند انخفاض التماثل، أما البعض الآخر فيتغير إلى أكثر من عملية جديدة:



كل C_2 منطبق على C_4 ($= C_4^2$) في O_h ويرتبط بـ C_2 أو C_2' في D_{4h} ، حيث يقع محوران من C_4 في المستوى الأفقي (كما هو موضح بالرسم). أما محاور C_2 المتبقية في O_h (والتي تنصف $\angle L-A-L$) فيصبح C_2'' ، في حين تصبح الثلاثة مستويات σ_h مستوى واحد واثنين σ_v في D_{4h} .

إذا نظرنا إلى ميز التمثيلات غير القابلة للاختزال للعمليات المتشابهة (الجدول رقم ١٣.٣) نجد التشابه بين الرموز التماثلية جلياً. يحتوي الجدول على العمليات

التماثلية المشتركة للزمرتين النقطيتين وتمثيلات O_h غير القابلة للاختزال ومميزاتها في متن الجدول. يمثل كل صف من المميزات رمزاً تماثلياً واحداً في O_h (اليسار) والرمز المقابل له في D_{4h} (اليمين). مثلاً، المميزات في تمثيل A_{2g} غير القابل للاختزال في O_h تمثل أيضاً B_{1g} في D_{4h} (اليمين). ويكتننا أن نقول إن A_{2g} في O_h تقابل B_{1g} في D_{4h} . إن تطابقاً مباشراً غير ممكن دائماً على أي حال، فقييم المميز للتمثيل غير القابل للاختزال E_g في O_h لا يوجد ما يتوافق معها في جدول صفات D_{4h} ، ولكنه تمثيل قابل للاختزال في هذا التمايل المنخفض؛ ويمكن الوصول إلى $E_g(O_h) \rightarrow A_{1g} + B_{1g}(D_{4h})$ بجمع الصيغ المنسوبة في الجدول رقم (١٣.٣)، أو باستخدام صيغة الاختزال.

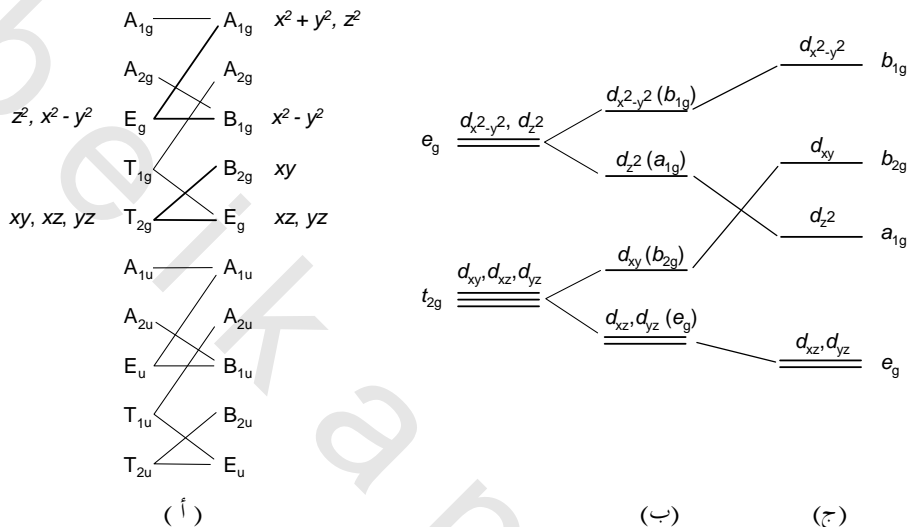
الجدول رقم (١٣.٣). جدول صفات O_h مبيناً اشتراكه مع D_{4h} .

O_h	E	$6C_4$		$3C_2^b$	$6C_2$	I	$6S_4$	$3\sigma_h$		$6\sigma_d$	
	E	$2C_4$	C_2	$2C_2'$	$2C_2''$	I	$2S_4$	σ_h	$2\sigma_v$	$2\sigma_d$	D_{4h}
A_{1g}	1	1	1	1	1	1	1	1	1	1	A_{1g}
A_{2g}	1	-1	1	1	-1	1	-1	1	1	-1	B_{1g}
E_g	2	0	2	2	0	2	0	2	2	0	$A_{1g} + B_{1g}$
T_{1g}	3	1	-1	-1	-1	3	1	-1	-1	-1	$A_{2g} + E_g$
T_{2g}	3	-1	-1	-1	1	3	-1	-1	-1	1	$B_{2g} + E_g$
A_{1u}	1	1	-1	1	1	-1	-1	-1	-1	-1	A_{1u}
A_{2u}	1	-1	-1	1	-1	-1	1	-1	-1	1	B_{1u}
E_u	2	0	2	2	0	-2	0	-2	-2	0	$A_{1u} + B_{1u}$
T_{1u}	3	1	-1	-1	-1	-3	-1	1	1	1	$A_{2u} + E_u$
T_{2u}	3	-1	-1	-1	1	-3	1	1	1	-1	$B_{2u} + E_u$

ترتيب قائمة العمليات ($l-n$) كما هو في D_{4h} ؛ تم إعادة ترتيب O_h ليسمح بالمقارنة المباشرة بين جداول الزمرتين النقطيتين.

سؤال تقييم ذاتي ١٣.٩ : أثبتت أن $T_{2u}(O_h) \rightarrow B_{2u} + E_u(D_{4h})$

يمكن تبسيط الجدول رقم (١٣,٣) لبيان التعالق كما يلي، حيث يؤكّد على تحولات تماثلات مدارات -d:

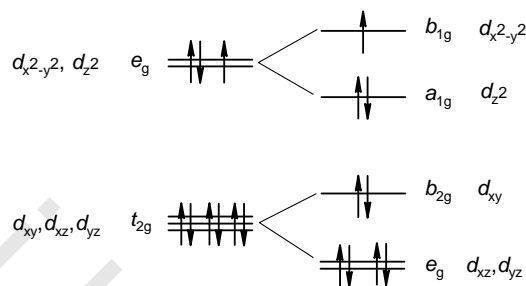


الشكل رقم (١٣,٦). (أ) مخطط تعالق O_h / D_{4h} وما تفرضه على انقسام مدارات -d بعد (ب) تشوّه رباعي و(ج) إزالة كلية لمتصلين ليتّبع معقد مربع - مستوي.

تم إزالة التساوي جزئياً أو كلياً، عموماً، عندما تتناقص الخواص التماثلية المتساوية. وفي حالة التشوّه الرباعي والذي ينخفض تماثل O_h إلى D_{4h} ، تنقسم مجموعة المدارية إلى e_g و b_{2g} ، في حين يتحول الزوج e_g إلى a_{1g} و b_{1g} .

تنص فرضية جان - تLER على أن أي نظام متساوٍ سوف يتشوّه إلى أقل من تماثله وتتم إزالة التساوي، رغم أنه يُستبقى في حال وجود أي مركز انقلاب في الحالة المتساوية بعد التشوّه. تحفظ هيئات d^n جميعها d^3, d^5, d^7 مرتفع - الغزل، d^6 منخفض الغزل d^8 و d^{10} (والذي يملك التماثل A غير ذي التساوي)، ولديها الرموز E أو T تكون قابلة مثل هذا التشوّه. على أي حال، عملياً نجد تشوهات ملموسة للحالات

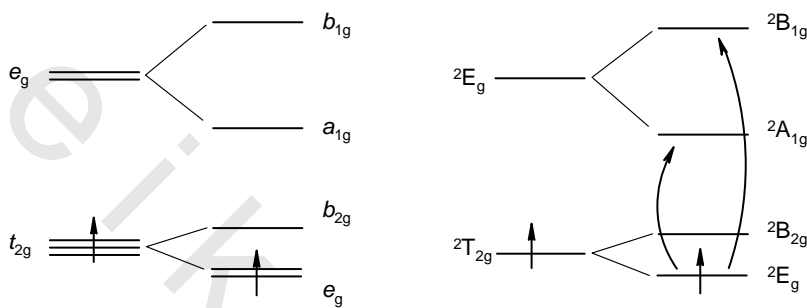
E ثنائية - التساوي فقط، أي عندما يكون في المستوى e_g إلكترون أو ثلاثة. إن القوة الدافعة لإزالة التساوي هي خفض طاقة النظام، والتي يكون لها قيمة في حالة d^9 :



لا يوجد حاصل في تغيير الطاقة من إعادة توزيع إلكترونات $(t_{2g})^6$ ، ولكن يتبع عن $(b_{1g})^2$ ($a_{1g})^2 \rightarrow (e_g)^3$) انخفاض في الطاقة لتلك في المستوى e_g . يتم ذلك بنائياً عبر استطالة رابطتين متقابلتين في المعقد ثماني الأوجه (عادة تؤخذ تلك على امتداد z) مع الاحتفاظ بمركز الانقلاب، (4) مخضعاً التمايل إلى D_{4h} . وفي تحليل بسيط للمجال البلوري، يعني مدار d_z الآن من تنافر أقل من المتصلة على امتداد z وبذلك تنخفض طاقته، في حين تزداد طاقة المدار d_{x2-y2} (هو الآن الوحيد الذي يشير مباشرة إلى المتصلات القريبة) بنفس المقدار، وذلك لحفظ الطاقة الكلية لمدارات $-d$ الخمسة. وبما أن إلكترونيين يستفيدان من خفض طلقة مدار d_{z2} وتزداد طاقة واحد فقط حيث d_{x2-y2} يقل ثباته فهناك حاصل في انخفاض الطاقة. تتطبق مثل هذه المناقشة على d^4 مرتفع الغزل $[e_g^1(t_{2g})^3]^2$ و d^6 منخفض الغزل $[(e_g^1)^6(t_{2g})^2]$.

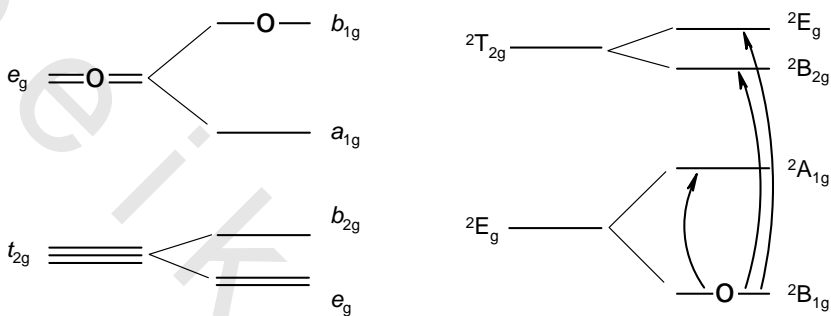
(4) ينتج انكماش للرابطتين على امتداد z واستطالة للأربعة في المستوى xy تحت تماثل D_{4h} ، رغم أن مشاهدة ذلك غير شائعة.

سوف تحدث تشوهات أقل في الهيئات ثلاثية - التساوي مثل $[t_{2g}]^1 d^1$ حيث التمييز بين ثلاثة مدارات t_{2g} ، والتي لا يشير أي منها إلى أي من المتصلات الستة، وهو أقل منه في زوج e_g المداري. مثل هذه التشوهات عادة من الصعب تعينها تجريبياً.



إن عاًقب أثر جان - تلر في المطيافية الإلكترونية هي انقسام الحزم عندما تم إزالة التساوي المداري. فنظام d^5 في موضع النقاش (أعلاه) يتمثل بالأنيون - المائي $[Ti(H_2O)_6]^{3+}$ البنفسجي والذي يُظهر حزمة عريضة واحدة عند حوالي 20300 سم⁻¹ منقسمة بوضوح إلى اثنتين بحوالي 2000 سم⁻¹. على أي حال، فإن حالة d^1 أكثر تعقيداً مما تبدو عليه لأنه من غير المتوقع أن يكون انقسام جان - تلر حالة $[t_{2g}]^1$ المستقرة ذات قيمة كافية لتوليد مثل هذا الانقسام الكبير للحزمة. ولكن انقسام الحزمة في الحقيقة يبرز بسبب الاستطالة الرباعية للحالة المشار إليها (e_g) . إن حدود الهيئات $[t_{2g}]^1$ و $[e_g]^1$ هي $^2T_{2g}$ ، على التوالي ، وهي تنقسم عند انخفاض التمايل من O_h إلى D_{4h} بنفس طريقة انخفاض تساوي مدارات - d : إن الامتصاصين المؤدين إلى الطيف هما $^2E_g \leftarrow ^2A_{1g}$ و $^2E_g \leftarrow ^2B_{1g}$ ويعود انقسام الحزمة إلى فرق الطاقة في $^2A_{1g} / ^2B_{1g}$.

إن تشوهات جان - تلر الملاحظة لأنظمة d^9 مثل Cu(II) هي من بين الأكثر شيوعاً ويمكن إثباتها بسهولة على أساس اصطلاحية الثقب. سوف ينقسم مستوى D^2 المستقر لـ d^9 تحت قابل O_h بتناقص التماض إلى D_{4h} كما يلي :



يمكن النظر إلى الهيئة d^9 على أنها ثقب (o) في المستوى e_g ، والذي سوف يتغير إلى b_{1g} عند التشوه إلى D_{4h} ، أي بالتحديد مدار $d_{x^2-y^2}$. وبالمثل، يصبح الحد المستقر B_{1g} (ليس للانقسام تأثير على التعديدية المغزليّة)، ويمكن تفسير الطيف الإلكتروني (اللماح) - غلاف عريض بنهاية قصوى عند حوالي 12000 cm^{-1} - وذلك بتدخل 2A_{1g} $\leftarrow 2\text{B}_{1g}$ (يتنتقل الثقب إلى d_{z^2}) والانتقالات غير المنفصلة $2\text{B}_{1g} \leftarrow 2\text{E}_g$.

سؤال تقييم ذاتي ١٣، ١٠ : بمحاكاة الحالة d^9 ، اقترح انتقالات إلكترونية تفسر الحزمة العريضة عند حوالي 14000 cm^{-1} في طيف $[\text{Cr}(\text{H}_2\text{O})_6]^{2+}$ الإلكتروني.

إن هذا التحليل للتماثل المتناظر ليس حكراً على مستويات الطاقة والأطياف الإلكترونية وحدها ولكنه ينطبق على أي خصائص للنظام، فالأنطاف الاهتزازية التي تم تحليلها في القسم 2 من هذا الكتاب مناسبة بنفس القدر مثل هذه المعالجة. مثال لذلك، كيف يتغير طيف (T_d) CH_4 الاهتزازي من حيث عدد الحزم الملاحظة عندما

ينخفض التماض إلى C_{3v} (مثلاً CH_3D) أو C_{2v} (مثلاً CH_2D_2). تتنبأ نظرية الزمر في CH_4 ، وباستخدام التقنيات ذاتها:

$$= A_1 + E + 2T_2 \text{اهتزاز} \Gamma$$

ويربط جدول التعالق التالي:

$T_d \rightarrow$	C_{3v}	C_{2v}
A_1	A_1	A_{-1}
A_2	A_2	A_2
E	E	$A_1 + A_2$
T_1	$A_2 + E$	$A_2 + B_1 + B_2$
T_2	$A_1 + E$	$A_1 + B_1 + B_2$

وتصبح الأطيف الاهتزازية للأصناف المستبدلة بالديوتيريوم الأدنى تماثلاً،

باستخدام الجدول أعلاه:

$$CH_3D (T_d \rightarrow C_{3v}), \Gamma_{اهتزاز} = A_1 + E + 2(A_1 + E) = 3A_1 + 3E$$

(انظر الفصل الخامس، المسألة ٢)

$$\begin{aligned} CH_2D_2 (T_d \rightarrow C_{2v}), \Gamma_{اهتزاز} &= A_1 + (A_1 + A_2) + 2(A_1 + B_1 + B_2) \\ &= 4A_1 + A_2 + 2B_1 + 2B_2 \end{aligned}$$

ولقد تم إثبات هذه التنبؤات تجريبياً.

١٣,٨) الخلاصة

- يقضي قانون بير - لامبرت بأن:

$$A = \varepsilon \times l \times C$$

- يتطلب قانون لابورت للانتقاء أن تملك الانتقالات مسمومة - تماثليةً

$$. 1 \pm = \Delta l$$

- يحظر قانون التعادلية انتقالات $g \rightarrow g$ و $u \rightarrow u$.
- تُنتهك قوانين كل من التعادلية ولا بورت بالازدواج الاهتزازي - الإلكتروني، عندما يتواافق تماثل الاهتزاز الجزيئي (يضم)، ولو جزئياً، ذلك لتكامل الانتقال الإلكتروني.
- يُنتهك قانون الانتقاء المغزلي بالازدواج المداري - المغزلي، ولكن كثافة الحزم الناشئة من مثل هذه الانتقالات ضعيفة.
- حدود المعقدات ثمانية رباعية الأووجه مرتفعة - الغزل هي :

$$d^n \equiv d^{n \pm 5} \quad (d^1 \equiv d^6, d^2 \equiv d^7, d^3 \equiv d^8, d^4 \equiv d^9)$$

- حدود ثمانية الأووجه $d^n \equiv$ رباعي الأووجه d^{10-n} والعكس صحيح.

الحد المستقر	رباعي الأووجه	d^n	ثمانى الأووجه
D	d^4, d^9	d^1, d^6	d^l
D	d^l, d^6	d^4, d^9	d^4, d^9
F	d^3, d^8	d^2, d^7	d^2, d^7
F	d^2, d^7	d^3, d^8	d^4, d^9

- في مجال متصلة، انقسام حدود d^n عكس d^{10-n} (مثلاً d^1, d^9).
- لدى المعقدات منخفضة - الغزل حد مستقر ليس له أقصى تعددية.
- تنص فرضية جان - تدل على أن أي نظام متساوٍ سوف يتعرض للتشوه إلى أقل من تماثله وتم إزالة التساوي.

مسائل

جميع إجابات المسائل التي تحمل العلامة * في الملحق ٤ .

*١ - أوجد تماثل الانتقالات للصنف d^d وبأخذ النواتج المباشرة لثبت أن الانتقال $E \leftarrow T_2 \leftarrow E^2$ مسموح للصنف رباعي الأوجه ولكن $T_{2g} \leftarrow E_g^2$ محظوظ - تماثلياً معقد ثماني الأوجه.

*٢ - أثبت أن الانتقال الإلكتروني الأدنى طاقة معقد d^2 ثماني الأوجه، $\leftarrow T_{2g}^3$ ، $T_{1g}(F)^3$ ، محظوظ تماثلياً ولكنه مسموح اهتزازياً - انتقالياً.

*٣ - يظهر لأصناف Co^{3+} منخفضة - الغزل حزمان منخفضتنا الطاقة في أطيافها الإلكترونية والتي تقابل الانتقال من t_{2g}^6 إلى $e_g^1(t_{2g}^5)$. أوجد تفسيراً لهاتين الحزمتين على أساس تماثلات الحالات المستقرة والمثارة.

*٤ - الحد المستقر لأيون $[t_{2g}^4]^4$ منخفض - الغزل في مجال ثماني الأوجه هو T_{1g}^3 . باستخدام الجدول رقم (١٢.٦) في الجزء ١٢.٥ ، استنتاج رموز التماثل لجميع الحدود المعنية بأول مستوى مثار $[e_g^1(t_{2g}^3)]^4$ وتأكد من أن التساوي في إجابتك صحيح. ثم تنبأ بالانتقالات المسموحة - مغزلياً L^d منخفض - الغزل إلى أول هيئة مثارة.

*٥ - يتخذ أيون $[Pt(CN)_4]^{2-}$ بناء المربع المستوي (D_{4h}) يكون تماثل أ.م.ج.م. له b_{2g} ود.م.ج.غ. يكون b_{1g} الشكل رقم (١٣.٦ ج).

أ) تماثلات الحالات المستقرة والمثارة الأولى؟

ب) أثبت أن الانتقال بين هذه الحالات محظوظ - تماثلياً.

ج) إذا علمت أن:

$$\Gamma_{vib} = A_{1g} + B_{1g} + B_{2g} + A_{2u} + B_{2u} + 2E_u$$

هل هذا الانتقال مسموح إلكترونياً - اهتزازياً؟